

4. 3. 1964

С 346  
С - 51



ОБЪЕДИНЕНИЙ ИНСТИТУТ ЯДЕРНЫХ ИССЛЕДОВАНИЙ  
ЛАБОРАТОРИЯ ТЕОРЕТИЧЕСКОЙ ФИЗИКИ

---

П. Смрж

P-1524

НЕУПРУГИЕ ПЕРИФЕРИЧЕСКИЕ СТОЛКНОВЕНИЯ  
ПРИ СВЕРХВЫСОКИХ ЭНЕРГИЯХ

теЭТФ, 1964, т47, б5, с 1736-1739.

Дубна 1964

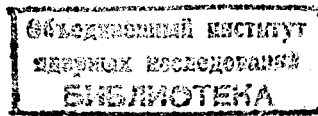
П. Смрж

P-1524

НЕУПРУГИЕ ПЕРИФЕРИЧЕСКИЕ СТОЛКНОВЕНИЯ  
ПРИ СВЕРХВЫСОКИХ ЭНЕРГИЯХ

22.95/3 49.

Направлено в ЖЭТФ



Дубна 1964

## Введение

В последнее время указывается, что мультипериферическая модель, предложенная Амати и др.<sup>1/</sup>, не может в своей сегодняшней форме удовлетворительно описать неупругие процессы при сверхвысоких энергиях<sup>2/</sup>. Именно то предположение, что расщепление пиона в элементарных вершинах является только низкоэнергетическим (резонансным), кажется наиболее сомнительным. В предлагаемой работе показано, что и без конкретного вида поведения сечений центральных  $\pi\pi$  столкновений можно с помощью модели получить некоторые заключения об асимптотике неупругих процессов. В частности, получена зависимость между поведением полного сечения и поведением поперечного импульса нуклона и коэффициента неупругости в асимптотической области.

### 1. Мультипериферическая модель

Сумму мультипериферических диаграмм, описывающих  $N-N$  и  $\pi-N$  взаимодействия, можно представить в виде обычных одномезонных диаграмм (рис. 1), где в одной из вершин возникает только нуклон или  $\pi-N$  резонон<sup>3/</sup>. Не учитывая зависимость центральных сечений от  $\Delta^2$ , можно писать:

$$\sigma_{NN}^{(1)}(U) = \frac{2}{(2\pi)^3} \frac{1}{p_u^2 U^2} \int dw_r dw \ d\Delta^2 p_{w_r} \frac{w^2}{w} \sigma_{\pi N}(w_r) p_w w^2 \sigma_{\pi N}(w, \Delta^2) \frac{1}{(\Delta^2 + \mu^2)^2}, \quad (1)$$

$$\sigma_{\pi N}^{(2)}(U) = \frac{g^2}{4\pi} \frac{1}{p_u^2 U^2} \int dw \ d\Delta^2 p_w w^2 \sigma_{\pi N}(w, \Delta^2) \frac{\Delta^2 F(\Delta^2)}{(\Delta^2 + \mu^2)^2}, \quad (2)$$

$$\sigma_{\pi N}^{(1)}(U) = \frac{2}{(2\pi)^3} \frac{1}{p_u^2 U^2} \int dw_r dw \ d\Delta^2 p_{w_r} \frac{w^2}{w} \sigma_{\pi N}(w_r) p_w w^2 \sigma_{\pi N}(w, \Delta^2) \frac{1}{(\Delta^2 + \mu^2)^2}, \quad (3)$$

$$\sigma_{\pi N}^{(2)}(U) = \frac{g^2}{4\pi} \frac{1}{p_u^2 U^2} \int dw \ d\Delta^2 p_w w^2 \sigma_{\pi N}(w, \Delta^2) \frac{\Delta^2 F(\Delta^2)}{(\Delta^2 + \mu^2)^2}, \quad (4)$$

где  $F(\Delta^2)$  — формфактор нуклона и  $\sigma_{\pi N}(w, -\mu^2)$  является полным сечением  $\pi-N$  взаимодействия при энергии  $w$  и  $\sigma_{\pi N}(w, -\mu^2) = \sigma_{\pi N}(w)$  — полным сечением  $\pi-N$  взаимодействия. Зависимость этих сечений от  $\Delta^2$  получается, если в диаграммах

типа рис. 1 заменим квадрат массы первичного пиона на  $-\Delta^2$ . Тогда нижний и верхний предел интегрирования по передаче импульса растет при увеличении  $\Delta^2$  и таким образом из-за своей периферичности  $\sigma(w, \Delta^2)$  всегда убывает с ростом  $\Delta^2$ . Для каждой мультипериферической диаграммы с определенным числом элементарных вершин зависимость от  $\Delta^2$  исчезает при  $w \rightarrow \infty$ . Поэтому желательно исследовать асимптотические свойства формул (1), (2), (3) и (4) при предположении, что такое свойство остается и после суммирования диаграмм, то есть что

$$\sigma(w, \Delta^2) \xrightarrow[w \rightarrow \infty]{} \sigma(w, -\mu^2). \quad (5)$$

## 2. Асимптотические свойства

Предполагая отсутствие зависимости  $\sigma(w, \Delta^2)$  от  $\Delta^2$ , в асимптотике можно в формулах (1), (2), (3) и (4) интегрировать по  $\Delta^2$ . Аппроксимируя формфактор нуклона скачком

$$F(\Delta^2) = 1 \quad (\Delta^2 < \Delta_0^2),$$

$$F(\Delta^2) = 0 \quad (\Delta^2 > \Delta_0^2),$$

мы получим, что в асимптотике

$$\sigma_{NN}^{(1)}(U \rightarrow \infty) = \frac{1}{2\pi} \frac{1}{U^2} \int p_w w^2 \sigma_N^2(w) dw \int_0^U d(w^2) \frac{(U^2 - w^2) w^2}{w^2(w^2 - m^2) + w^4 m^2} \sigma_{\pi N}(w, -\mu^2) \quad (6)$$

$$\sigma_{NN}^{(2)}(U \rightarrow \infty) = \frac{\delta^2}{4\pi} \frac{1}{U^2} \int_0^U w^2 \sigma_{\pi N}(w, -\mu^2) \left\{ \lg \frac{\Delta_0^2 + \mu^2}{\Delta_{mln}^2 + \mu^2} - \mu^2 \frac{\Delta_0^2 - \Delta_{mln}^2}{(\Delta_0^2 + \mu^2)(\Delta_{mln}^2 + \mu^2)} \right\} d(w^2), \quad (7)$$

где

$$\Delta_{mln}^2 = m^2 \frac{w^4}{U^2(U^2 - w^2)},$$

и эквивалентные соотношения между  $\sigma_{NN}$  и  $\sigma_{\pi N}$ . Видно, что в этом случае предположение  $\sigma_{\pi N}(w \rightarrow \infty) \rightarrow \text{const}$  приводит к постоянству  $\sigma_{NN}$  и  $\sigma_{\pi N}$  в асимптотике.

Кроме того, можно с помощью формул

$$P_0 = \frac{U^2 + m^2 - w^2}{2U}, \quad (8)$$

$$\Delta^2 = \frac{U}{2P} (P_t^2 + m^2 \frac{(U - 2P)^2}{U^2}) \quad (9)$$

получить, например, из (2), распределение поперечного импульса нуклона  $P_t$  и энергии нуклона отдачи  $P_0$  в системе центра масс:

$$\frac{\partial \sigma_{NN}^{(2)}}{\partial P_0} \approx \frac{w^2}{U^3} \left\{ \lg \frac{\Delta_0^2 + \mu^2}{\Delta_{mln}^2 + \mu^2} - \mu^2 \frac{\Delta_0^2 - \Delta_{mln}^2}{(\Delta_0^2 + \mu^2)(\Delta_{mln}^2 + \mu^2)} \right\}, \quad (10)$$

$$\frac{\partial \sigma_{NN}^{(2)}}{\partial P_t} \approx P_t \int \frac{U \cdot 2P}{P} \frac{\Delta^2 F(\Delta^2)}{(\Delta^2 + \mu^2)^2} dP. \quad (11)$$

Подобные формулы получаются из (1) и (3), (4). Из (10) и (11) видно, что распределения величин  $P_0/U$  и  $P_t/U$  являются непеременными в асимптотике, а это означает постоянство среднего значения коэффициента неупругости и среднего поперечного импульса нуклона. Таким образом, в случае постоянных сечений и неупругость и поперечный импульс являются постоянными, и на основе отношения  $\sigma_{NN}/\sigma_{\pi N}$  можно в данном случае вычислить их средние асимптотические значения. Формула (6) ведет с учетом пяти  $\pi N$  резонансов к значению

$$\sigma_{NN}^{(1)} = 0,44 \sigma_{\pi N}. \quad (12)$$

Поскольку  $\sigma_{NN}/\sigma_{\pi N} = 40/22,5 = 1,78$ , то можно утверждать, что

$$\sigma_{NN}^{(2)} = 1,34 \sigma_{\pi N}, \quad (13)$$

чему соответствует  $\Delta_0^2 = 1,75 \text{ Бэв}^2$ . Для средних значений коэффициента неупругости и поперечного импульса нуклона получается  $\bar{K} = \frac{U - 2P_0}{U} = 0,36$  и  $\bar{P}_t = 0,47 \text{ Бэв/с}$ . Уменьшение отношения  $\sigma_{NN}/\sigma_{\pi N}$  уменьшает и значение обеих величин.

Следует отметить, что учет зависимости  $\sigma_{\pi N}^t(w)$  от  $\Delta^2$  и замена предположения (5) на более слабое

$$\sigma(w, \Delta^2) \rightarrow \sigma(w, -\mu^2) f(\Delta^2), \quad f(\Delta^2) \neq 1 \quad (14)$$

мало изменяет результаты расчета. Действительно, такое изменение зависимости подынтегральной функции в (6) означает изменение коэффициента в отношении (12). Рассмотрим крайний случай, когда этот коэффициент равен нулю. Тогда  $\sigma_{NN}^{(2)} = 1,78 \sigma_{\pi N}$  и  $\Delta_0^2 = 2,7 \text{ Бэв}^2$ . Обрезание у  $\Delta_0^2$  означает здесь приближенный учет не только формфактора, а всей зависимости подынтегральных функций от  $\Delta^2$ . В этом случае получим средние значения  $\bar{K} = 0,4$  и  $\bar{P}_t = 0,55 \text{ Бэв}$ .

### 3. Двухцентровая модель

Из приведенных выше соображений видно, что  $N-N$  взаимодействия при сверхвысоких энергиях можно представить в виде диаграмм на рис. 2 и диаграмм такого же типа, где нуклоны в конечном состоянии заменены резонансами. Поскольку ничего неизвестно о поведении центральных  $\pi-\pi$  взаимодействий нельзя среднюю вершину полностью разлагать на элементарные вершины. Для больших, но конечных энергий можно представить  $\pi-\pi$  столкновения в виде двухвершинной одномезонной диаграммы (рис. 3), где требование постоянства полного сечения в асимптотике означает, что сечения в вершинах такой диаграммы уменьшаются при  $w \rightarrow \infty$  как  $\sigma(w) = k/w$ . Константа  $k$  определяется асимптотическим значением сечения  $\pi-\pi$  взаимодействия. Для  $\sigma_{\pi\pi} = 12,5$  мб (что соответствует  $\sigma_{NN}/\sigma_{\pi N} = \sigma_{\pi N}/\sigma_{\pi\pi} = 1,78$  и  $\sigma_{NN} = 40$  мб) получается  $k = 27,5$  мб Бэв. Таким образом, возникает определенная модель, где диаграммы типа рис. 3 описывают процесс рождения двух "файрболлов" и которая, кроме асимптотических значений  $\sigma_{NN}$  и  $\sigma_{\pi N}$ , не содержит других свободных параметров.

### Заключение

В заключении хотим подчеркнуть, что в терминах мультипериферической модели асимптотическое поведение сечений связано с поведением коэффициента неупругости и поперечного импульса нуклона. Постоянство сечений означает постоянство этих двух величин, и значения  $\sigma_{NN} = 40$  мб,  $\sigma_{\pi N} = 22,5$  мб ведут к разумным значениям  $K = 0,38$ ,  $P_t = 0,47$  Бэв. Однако для точных расчетов мультипериферических диаграмм при конечных энергиях нужно знать сечения центральных  $\pi-\pi$  столкновений. Поскольку для этого пока нет ни теоретических, ни экспериментальных данных для вычислений можно лишь использовать модели с заданным числом  $\pi-\pi$  вершин. Наиболее привлекательной является модель с двумя вершинами, которая может описывать процесс рождения двух "файрболлов" и которая не содержит свободных параметров, если известны асимптотические значения  $\sigma_{NN}$  и  $\sigma_{\pi N}$ .

Автор выражает благодарность В.С.Барашенкову, Д.И.Блохинцеву и П.Шурани за ценные дискуссии и критические замечания.

### Литература

1. D.Amati, G.Fubini, A.Stanghellini, M.Tonin. Nuovo Cim., 22, 569 (1961).
2. Z.Koba, A.Krzywicki. Nucl. Phys., 46, 485 (1963).
3. F.Salzman. Phys. Rev., 131, 1786 (1963).

Рукопись поступила в издательский отдел  
3 января 1984 г.

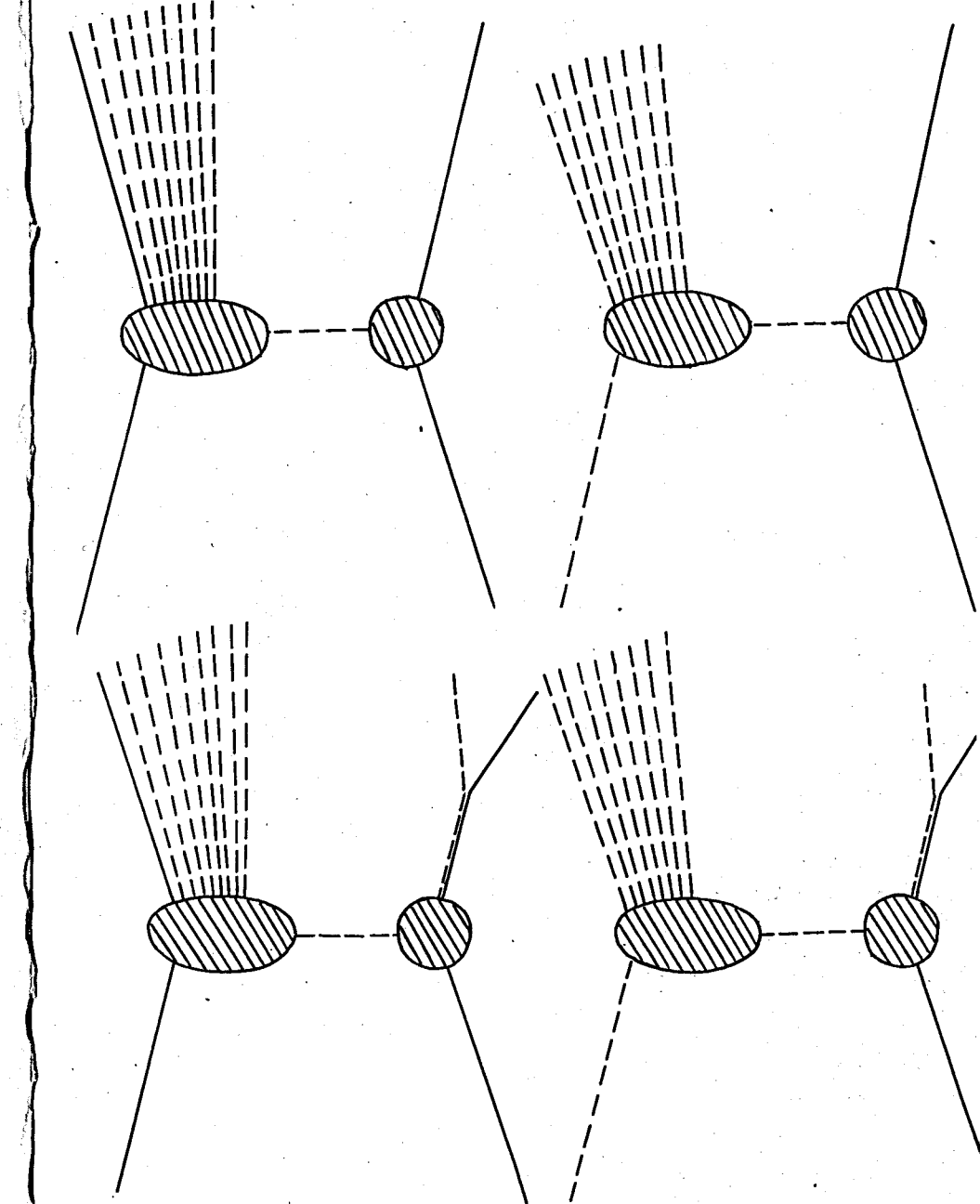


Рис. 1. Диаграммы, описывающие периферические  $N - N$  и  $\pi - N$  взаимодействия при сверхвысоких энергиях.

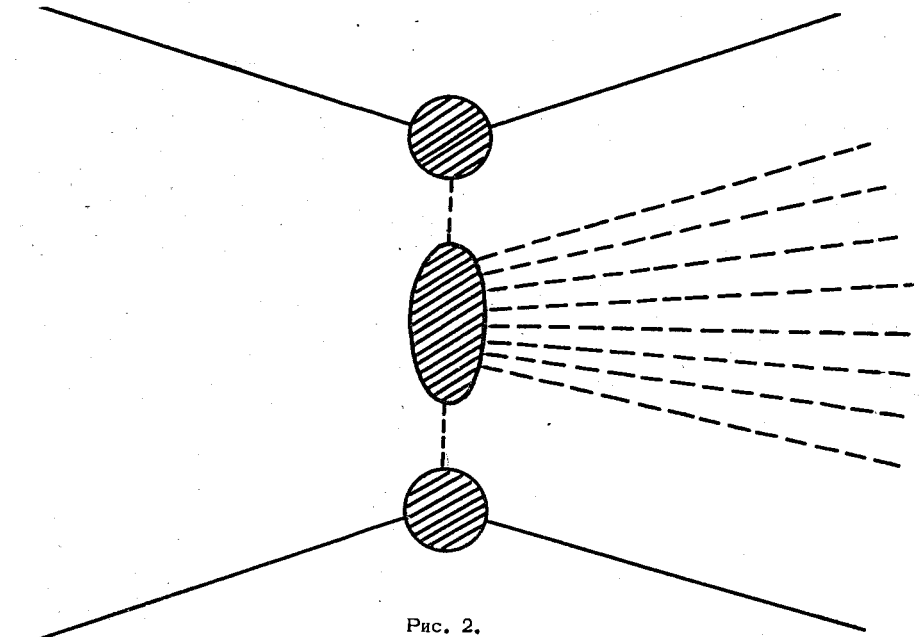


Рис. 2.

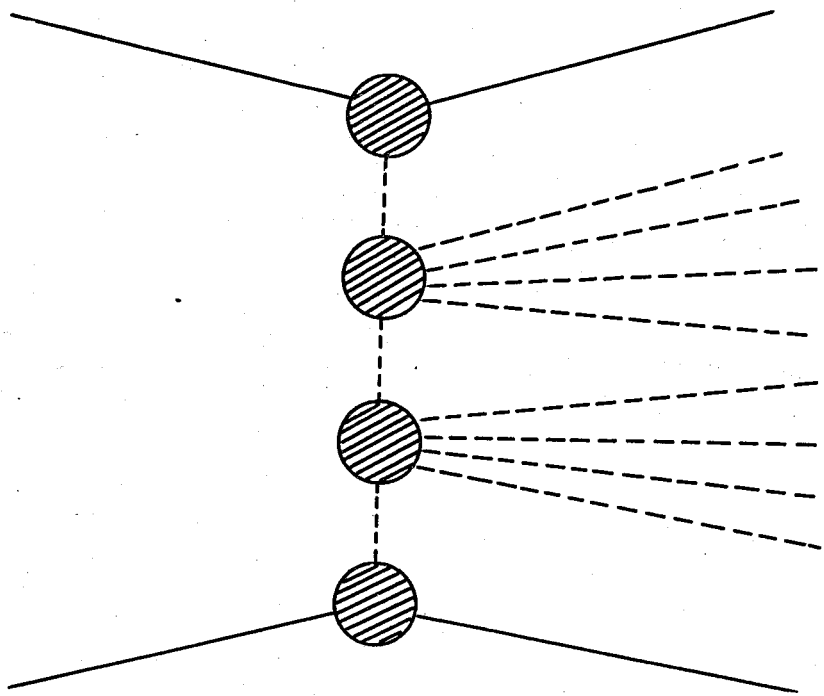


Рис. 3.